

(19) 日本国特許庁 (J P)

(12) 公開特許公報 (A)

(11) 特許出願公開番号

特開平7-319092

(43) 公開日 平成7年(1995)12月8日

(51) Int.Cl. ⁹	識別記号	庁内整理番号	F I	技術表示箇所
G 0 3 B 42/02	Z			
	B			
A 6 1 B 6/00	3 3 3	0807-2J		
		0807-2J		
			A 6 1 B 6/ 00	3 5 0 S
			G 0 6 F 15/ 62	3 9 0 A

審査請求 未請求 請求項の数16 O L (全 21 頁) 最終頁に続く

(21) 出願番号 特願平6-249614

(22) 出願日 平成6年(1994)10月14日

(31) 優先権主張番号 特願平6-62476

(32) 優先日 平6(1994)3月31日

(33) 優先権主張国 日本 (J P)

(71) 出願人 000005201

富士写真フイルム株式会社
神奈川県南足柄市中沼210番地

(72) 発明者 安田 裕昭

神奈川県足柄上郡開成町宮台798番地 富
士写真フイルム株式会社内

(72) 発明者 伊藤 渡

神奈川県足柄上郡開成町宮台798番地 富
士写真フイルム株式会社内

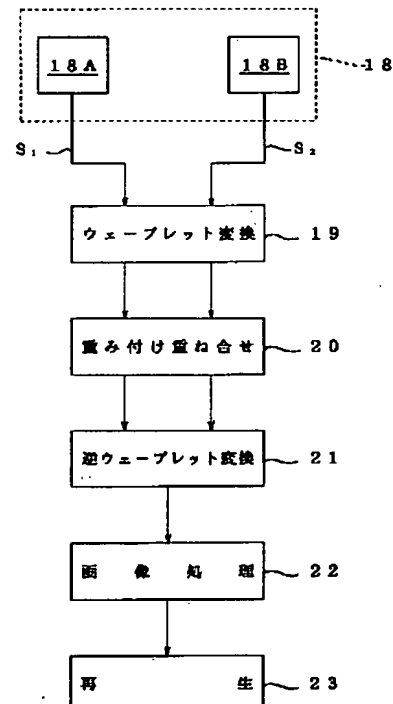
(74) 代理人 弁理士 柳田 征史 (外1名)

(54) 【発明の名称】 画像重ね合せ方法およびエネルギーサブトラクション方法

(57) 【要約】

【目的】 画像の重ね合せおよびエネルギーサブトラクション方法において、信号対ノイズ比を高くする。

【構成】 メモリ18A, 18B に記憶された2つの画像信号S1, S2をウェーブレット変換手段19に入力してウェーブレット変換を施し、複数の周波数帯域ごとの係数信号に分解する。次いで重み付け加算手段20において画像信号の周波数特性に応じて信号対ノイズ比の低い周波数帯域の重み付け係数を信号対ノイズ比の高い周波数帯域の重み付け係数に比して相対的に小さくして各周波数帯域ごとの係数信号を加算する。加算された係数信号を逆ウェーブレット変換手段21において逆ウェーブレット変換し、画像処理手段22において所定の画像処理を施し、再生手段23において可視像として再生する。



【特許請求の範囲】

【請求項1】 同一被写体の放射線画像を担持する周波数特性が互いに異なる複数の画像信号に対して相対応する画素についての信号間で各画像信号に所定の重み付け係数を乗じて加算を行って加算信号を得る放射線画像の重ね合せ方法において、

前記各画像信号の周波数特性に応じて信号対ノイズ比の低い周波数成分の重み付け係数を信号対ノイズ比の高い周波数成分の重み付け係数に比して相対的に小さくさせることを特徴とする画像重ね合せ方法。

【請求項2】 前記各画像信号にフーリエ変換を施して該各画像信号を複数の周波数帯域ごとのフーリエ変換係数信号に分解し、

該各フーリエ変換係数信号ごとに重み付け係数を変化させて該各フーリエ変換係数信号の加算を行って各周波数帯域ごとの加算フーリエ変換係数信号を得、

該加算フーリエ変換係数信号を逆フーリエ変換することにより画像の重ね合せを行うことを特徴とする請求項1記載の画像重ね合せ方法。

【請求項3】 前記各画像信号を多重解像度空間に変換して該各画像信号を複数の周波数帯域ごとの変換係数信号に分解し、

該各変換係数信号ごとに重み付け係数を変化させて該各変換係数信号の加算を行って各周波数帯域ごとの加算変換係数信号を得、

該加算変換係数信号を逆変換することにより画像の重ね合せを行うことを特徴とする請求項1記載の画像重ね合せ方法。

【請求項4】 前記多重解像度空間への変換をウェーブレット変換により行うことを特徴とする請求項3記載の画像重ね合せ方法。

【請求項5】 前記放射線画像に含まれる前記被写体の部位に応じて到達線量の大きい部位の重み付け係数を到達線量の小さい部位に比して相対的に大きくさせることを特徴とする請求項1、3または4のいずれか1項記載の画像重ね合せ方法。

【請求項6】 前記各画像信号がアナログ画像信号であり、

該各アナログ画像信号のすべてについて、該画像信号の周波数特性を変化させる重みを有するフィルタにより、該すべてのアナログ画像信号をフィルタリングし、該フィルタリング後の各アナログ画像信号の加算を行うことにより画像の重ね合わせを行うことを特徴とする請求項1記載の画像重ね合せ方法。

【請求項7】 前記各画像信号がアナログ画像信号であり、

該各アナログ画像信号のうち所望とするアナログ画像信号について、該画像信号の周波数特性を変化させる重みを有するフィルタにより、該所望とするアナログ画像信号をフィルタリングし、

該フィルタリング後のアナログ画像信号とそれ以外のアナログ画像信号との加算を行うことにより画像の重ね合わせを行うことを特徴とする請求項1記載の画像重ね合せ方法。

【請求項8】 前記複数の画像信号を、放射線画像が蓄積記録された1枚の蓄積性蛍光体シートの両面または片面に励起光を走査して前記放射線画像を輝尽発光光に変換し、該蓄積性蛍光体シートの両面から得られる輝尽発光光を各々光電的に読み取ることにより得ることを特徴とする請求項1から7のいずれか1項記載の画像重ね合せ方法。

【請求項9】 前記複数の画像信号を、放射線画像が蓄積記録された2枚の蓄積性蛍光体シートそれぞれに励起光を走査して前記放射線画像を輝尽発光光に変換し、該輝尽発光光を光電的に読み取ることにより得ることを特徴とする請求項1から7のいずれか1項記載の画像重ね合せ方法。

【請求項10】 同一被写体を透過したそれぞれエネルギー分布が互いに異なる放射線により得られた少なくとも一部の画像情報が互いに異なる複数の放射線画像を検出することにより得られた複数の画像信号に対して相対応する画素についての信号間で各画像信号に所定の重み付け係数を乗じて減算を行って前記被写体の特定構造物の画像を形成する差信号を得るエネルギーサブトラクション方法において、

前記各画像信号の周波数特性に応じて信号対ノイズ比の低い周波数成分の重み付け係数を信号対ノイズ比の高い周波数成分の重み付け係数に比して相対的に小さくさせることを特徴とするエネルギーサブトラクション方法。

【請求項11】 前記各画像信号にフーリエ変換を施して該各画像信号を複数の周波数帯域ごとのフーリエ変換係数信号に分解し、

該各フーリエ変換係数信号ごとに重み付け係数を変化させて該各フーリエ変換係数信号の減算を行って各周波数帯域ごとの減算フーリエ変換係数信号を得、

該減算フーリエ変換係数信号を逆フーリエ変換することにより前記差信号を得ることを特徴とする請求項10記載のエネルギーサブトラクション方法。

【請求項12】 前記各画像信号を多重解像度空間に変換して該各画像信号を複数の周波数帯域ごとの変換係数信号に分解し、

該各変換係数信号ごとに重み付け係数を変化させて該各変換係数信号の減算を行って各周波数帯域ごとの減算変換係数信号を得、

該減算変換係数信号を逆変換することにより前記差信号を得ることを特徴とする請求項10記載のエネルギーサブトラクション方法。

【請求項13】 前記多重解像度空間への変換をウェーブレット変換により行うことを特徴とする請求項12記載のエネルギーサブトラクション方法。

10

20

30

40

50

【請求項14】 前記放射線画像に含まれる前記被写体の部位に応じて到達線量の大きい部位の重み付け係数を到達線量の小さい部位に比して相対的に大きくさせることを特徴とする請求項10、12または13のいずれか1項記載のエネルギーサブトラクション方法。

【請求項15】 前記各画像信号がアナログ画像信号であり、

該各アナログ画像信号のすべてについて、該画像信号の周波数特性を変化させる重みを有するフィルタにより、該すべてのアナログ画像信号をフィルタリングし、該フィルタリング後の各アナログ画像信号の減算を行うことにより前記差信号を得ることを特徴とする請求項10記載のエネルギーサブトラクション方法。

【請求項16】 前記各画像信号がアナログ画像信号であり、

該各アナログ画像信号のうち所望とするアナログ画像信号について、該画像信号の周波数特性を変化させる重みを有するフィルタにより、該所望とするアナログ画像信号をフィルタリングし、

該フィルタリング後のアナログ画像信号とそれ以外のアナログ画像信号との減算を行うことにより前記差信号を得ることを特徴とする請求項10記載のエネルギーサブトラクション方法。

【発明の詳細な説明】

【0001】

【産業上の利用分野】本発明は、同一被写体の放射線画像情報を担持する複数の画像信号の加算処理を行う放射線画像の重ね合せ処理方法および同一被写体の放射線画像情報を担持する複数の画像信号の減算処理を行うエネルギーサブトラクション方法に関するものである。

【0002】

【従来の技術】記録された放射線画像を読み取って画像信号を得、この画像信号に適切な画像処理を施した後、画像を再生記録することが種々の分野で行われている。たとえば、後の画像処理に適合するように設計されたガンマ値の低いフィルムを用いてX線画像を記録し、このX線画像が記録されたフィルムからX線画像を読み取って電気信号に変換し、この電気信号（画像信号）に画像処理を施した後コピー写真等に可視像として再生することにより、コントラスト、シャープネス、粒状性等の画質性能の良好な再生画像を得ることの出来るシステムが開発されている（特公昭61-5193号公報参照）。

【0003】また本出願人により、放射線（X線、 α 線、 β 線、 γ 線、電子線、紫外線等）を照射するとこの放射線エネルギーの一部が蓄積され、その後可視光等の励起光を照射すると蓄積されたエネルギーに応じた光量の輝尽発光光を放射する蓄積性蛍光体（輝尽性蛍光体）を利用して、人体等の被写体の放射線画像を一旦シート状の蓄積性蛍光体に撮影記録し、蓄積性蛍光体シートをレーザ光等の励起光で走査して輝尽発光光を生ぜしめ、

得られた輝尽発光光を光電的に読み取って画像信号を得、この画像信号に基づいて被写体の放射線画像を写真感光材料等の記録材料、CRT等に可視像として出力させる放射線記録再生システムがすでに提案されている（特開昭55-12429号、同56-11395号、同55-0163472号、同56-164645号、同55-116340号等）。

【0004】一方、従来より放射線画像の重ね合せ処理が公知となっている（例えば特開昭56-11399号参照）。一般に、放射線画像は診断用その他の目的に使われるが、その使用に当たっては被写体の微小な放射線吸収差を良好に検出することが要求される。放射線画像におけるこの検出の程度をコントラスト検出能または単に検出能と呼ぶが、この検出能の高いもの程診断性能も高く、実用的価値が高い放射線画像であると言えることができる。したがって診断性能を高めるため、この検出能を高くすることが望まれるが、その最も大きな障害要因は各種ノイズである。

【0005】例えば、前述した蓄積性蛍光体シートを使用する放射線画像記録方式においては、放射線画像を蓄積性蛍光体シートに蓄積記録し、読み出すステップにおいて次のようなノイズの存在が認められている。

【0006】(1) 放射線の量子ノイズ

(2) 蓄積性蛍光体シートの蛍光体塗布分布もしくは蛍光体粒子分布の不均一によるノイズ

(3) 蓄積性蛍光体シートに蓄積記録された画像を輝尽発光させる励起光のノイズ

(4) 蓄積性蛍光体シートから発せられ、集光、検出される輝尽発光光のノイズ

(5) 電気信号を増幅、処理する系における電気的ノイズ
重ね合せ処理は、これらのノイズを大幅に減少させ、被写体の僅かな放射線吸収差も最終画像において明確に観察可能にする、すなわち検出能を大幅に向上させる方法である。重ね合せ処理の一般的な手法および作用は、次の通りである。

【0007】複数枚重ねた記録媒体に放射線画像を撮影（記録）し、この複数枚の記録媒体を読み取処理にかけて得た複数の画像信号を重ね合わせる。このことにより、前述の各種ノイズを減少させることができる。すなわち、前述の蓄積性蛍光体シートのノイズ(1)～(5)は各シートの画像ごとに異なった分布を示す場合が多いので、これらのシートの画像を重ね合わせることにより各ノイズは平均化され、重ね合せ処理をした画像ではノイズが目立たなくなる。つまり、 S/N の良い画像信号が得られる。X線フィルムに記録された放射線画像を読み取った場合にも、これと同様のことがいえる。さらに詳しくは、ノイズ(1)～(5)には、ポアソン統計で近似できるノイズが多く、特に放射線画像のノイズの中で支配的な要因の1つである(1)放射線のノイズはその一例である。ここで、ノイズがポアソン統計で近似できるとし、2枚の放射線画像がそれぞれ同等の大きさの信号S

5

1、 S_2 およびノイズ N_1 、 N_2 を持つと考えた場合、2枚の画像を重ね合せた場合の信号とノイズの大きさは、信号が $S_1 + S_2$ 、ノイズが

【0008】

【数1】

$$\sqrt{N_1^2 + N_2^2} \quad \dots (1)$$

【0009】となる。一方、放射線画像の検出能を表す一つの指標である S/N を考えた場合、重ね合せる前の各画像の S/N はそれぞれ、 S_1/N_1 、 S_2/N_2 であるが、重ね合せ処理を行うことにより S/N は、

【0010】

【数2】

$$(S_1 + S_2) / \sqrt{N_1^2 + N_2^2} \quad \dots (2)$$

【0011】となり、 S/N が向上する。また、重ね合せ処理を行う際に、それぞれの信号に重み付けを行うことにより、 S/N 向上の最適化が可能である。

【0012】従来、実際にこの重ね合せ処理を行うためには、例えば、蓄積性蛍光体シートを用いた場合には、カセットに蓄積性蛍光体シートを2枚重ねて入れて被写体の撮影を行い、2枚の蓄積性蛍光体シートに対して通常の読取処理と同様の読取処理を逐次行って2組の画像信号を得る、という方法が用いられている。

【0013】一方、従来より放射線画像のサブトラクション処理が公知となっている。この放射線画像のサブトラクションとは、異なった条件で撮影した2つの放射線画像を光電的に読み出してデジタル画像信号を得た後、これらのデジタル画像信号を両画像の各画素を対応させて減算処理し、放射線画像中の特定の構造物を抽出させる差信号を得る方法であり、このようにして得た差信号を用いれば、特定構造物のみが抽出された放射線画像を再生することができる。

【0014】このサブトラクション処理には、基本的に次の2つの方法がある。即ち、(1)造影剤注入により特定の構造物が強調された放射線画像の画像信号から、造影剤が注入されていない放射線画像の画像信号を引き算（サブトラクト）することによって特定の構造物を抽出するいわゆる時間サブトラクション処理と、(2)同一の被写体に対して相異なるエネルギー分布を有する放射線を照射し、あるいは被写体透過後の放射線をエネルギー分布状態を変えて2つの放射線検出手段に照射して、それにより特定の構造物が異なる画像を2つの放射線画像間に存在せしめ、その後この2つの放射線画像の画像信号間で適当な重みづけをした上で引き算（サブトラクト）を行って、特定の構造物の画像を抽出するいわゆるエネルギーサブトラクション処理である。

【0015】先に述べた蓄積性蛍光体シートを利用する放射線画像情報記録再生システムにおいては、該シートに記録されている放射線画像情報が直接電氣的画像信号

6

の形で読み取られるから、このシステムによれば、上述のようなサブトラクション処理を容易に行うことが可能となる。この蓄積性蛍光体シートを用いてエネルギーサブトラクション処理を行うためには、例えば2枚の蓄積性蛍光体シートに特定の構造物に対応する部分の画像情報が異なるように画像記録（撮影）を行えばよく、具体的には、エネルギー分布の異なる2種類の放射線を用いて撮影を2回行う2Shot法と、例えば被写体を透過した放射線を、重ねられた2枚の蓄積性蛍光体シート（それらは互いに接していても、離れていてもよい）に同時に曝射することによって、両シートに互いにエネルギー分布が異なる放射線を照射するようにした1Shot法が知られている。

【0016】また、上述した輝尽発光光を光電的に読み取る方法として、蓄積性蛍光体シートの両面に上述した光電読取手段を配して、蓄積性蛍光体シートの両面または片面にのみ励起光を走査し、この励起光走査により発せられた輝尽発光光を蓄積性蛍光体シートの両面から光電的に読み取る両面集光読取方法が提案されている（例えば、特開昭55-87970号公報参照）。このような両面集光読取方法は、蓄積性蛍光体シートに1つの放射線画像が蓄積記録され、かつ蓄積性蛍光体シートの両面から輝尽発光光を集光するようにしたものであるため、集光効率が向上し、 S/N 比がより改善される。

【0017】上記特開昭55-87970号公報に開示された両面集光読取方法においては、透明なホルダー上に蓄積性蛍光体シートを装着し、その上下に光電読取手段を配置している。すなわち、ホルダーの上に配置された光電読取手段では、蓄積性蛍光体シートの表面から射出した輝尽発光光を読み取り、ホルダーの下に配置された光電読取手段では、蓄積性蛍光体シートの裏面から射出した輝尽発光光を読み取るようになる。

【0018】

【発明が解決しようとする課題】上述した重ね合せを行うための画像信号を得る場合、複数枚重ねた蓄積性蛍光体シートに放射線画像を記録する必要がある。この際、放射線源から遠い位置にある蓄積性蛍光体シートから得られる画像信号は、放射線源に最も近い位置にある上側シートから得られる画像信号と同様に低周波数帯域における画像情報を含むものであるが、上側シートと比べて高周波数帯域の周波数依存特性が低く、高周波数帯域については画像情報が少なくなり、散乱光等の影響によるノイズ成分が多くなるものである。したがって、このまま上側、下側シートから得られる画像信号に同一の重み付けをして加算を行ったのでは、加算された画像信号の低周波数帯域では画質が良くなるが、高周波数帯域ではノイズ成分も強調されてしまうため、画質の低下を招くこととなる。また、前述した1枚の蓄積性蛍光体シートの両面から画像信号を読み取る方法により得られたシートの上側から得られた画像信号とシートの下側から得ら

れた画像信号の場合にも同様の画質の低下を招くおそれがある。さらには、前述したエネルギーサブトラクションを行う画像信号についても画像信号の周波数帯域によりノイズ成分の割合が異なるため、画像信号間で減算処理を行った際にも、各画像信号の重み付け係数により差信号のノイズ成分が多くなってしまう場合がある。

【0019】本発明は上記事情に鑑み、上述した重ね合せ画像、エネルギーサブトラクション画像において、ノイズ成分が少ないより高画質の画像を得ることができ放射線画像の重ね合せ方法およびエネルギーサブトラクション方法を提供することを目的とするものである。

【0020】

【課題を解決するための手段】本発明による第1の画像重ね合せ方法は、同一被写体の放射線画像を担持する周波数特性が互いに異なる複数の画像信号に対して相対応する画素についての信号間で各画像信号に所定の重み付け係数を乗じて加算を行って加算信号を得る放射線画像の重ね合せ方法において、前記各画像信号の周波数特性に応じて信号対ノイズ比の低い周波数成分の重み付け係数を信号対ノイズ比の高い周波数成分の重み付け係数に比して相対的に小さくさせることを特徴とするものである。

【0021】また、本発明による第2の画像重ね合せ方法は、本発明による第1の画像重ね合せ方法において、前記各画像信号にフーリエ変換を施して該各画像信号を複数の周波数帯域ごとのフーリエ変換係数信号に分解し、該各フーリエ変換係数信号ごとに重み付け係数を変化させて該各フーリエ変換係数信号の加算を行って各周波数帯域ごとの加算フーリエ変換係数信号を得、該加算*

$$W(a, b) = \int_{-\infty}^{\infty} f(t) h(a, b) dt \quad \dots (3)$$

但し、 $f(t)$: 任意の波形の信号

$W(a, b)$: $f(t)$ のウェーブレット変換

$$h(a, b) = \frac{1}{\sqrt{a}} h\left(\frac{t-b}{a}\right)$$

a : 関数の縮率

b : 水平軸方向の移動量

【0028】なる式において信号を複数の周波数帯域ごとの周波数信号に変換するため、フーリエ変換のような偽振動の問題が発生しない。すなわち、関数 h の周期および縮率を変化させ、原信号を移動させることによりフィルタリング処理を行えば、細かな周波数から粗い周波数までの所望とする周波数に適合した周波数信号を作成することができる。例えば、図23に示すように、信号 $Sorg$ をウェーブレット変換し、各周波数帯域ごとに逆ウェーブレット変換した信号と、図24に示すように信号 $Sorg$ ※50

* フーリエ変換係数信号を逆フーリエ変換することにより画像の重ね合せを行うことを特徴とするものである。

【0022】さらに、本発明による第3の画像重ね合せ方法は、本発明による第1の画像重ね合せ方法において、前記各画像信号を多重解像度空間に変換して該各画像信号を複数の周波数帯域ごとの変換係数信号に分解し、該各変換係数信号ごとに重み付け係数を変化させて該各変換係数信号の加算を行って各周波数帯域ごとの加算変換係数信号を得、該加算変換係数信号を逆変換することにより画像の重ね合せを行うことを特徴とするものである。

【0023】ここで、多重解像度空間への変換とはウェーブレット変換、サブバンド変換等のフーリエ変換と比較して短いフィルタにより画像信号を複数の周波数帯域の信号に分解する変換をいう。

【0024】また、ここで、ウェーブレット変換について説明する。

【0025】ウェーブレット変換は、周波数解析の方法として近年開発されたものであり、ステレオのパターンマッチング、データ圧縮等に応用がなされているものである (OLIVIER RIOUL and MARTIN VETTERLI; Wavelets and Signal Processing, IEEE SP MAGAZINE, P. 14-38, OCTOBER 1991, Stephane Mallat; Zero-Crossings of a Wavelet Transform, IEEE TRANSACTIONS ON INFORMATION THEORY, VOL. 37, NO. 4, P. 1019-1033, JULY 1991)。

【0026】このウェーブレット変換は、図22に示すような関数 h を基底関数として、

【0027】

【数3】

※をフーリエ変換し、各周波数帯域ごとに逆フーリエ変換した信号で見ると、ウェーブレット変換はフーリエ変換と比べて原信号 $Sorg$ の振動と対応した周波数帯域の周波数信号を得ることができる。すなわち、フーリエ変換において原信号 $Sorg$ の部分Bと対応する周波数帯域7の部分B'には振動が発生しているのに対し、ウェーブレット変換では原信号 $Sorg$ の部分Aと対応する周波数帯域W7の部分A'には原信号と同様に振動は発生していないものとなる。

【0029】また、本発明による第4の画像重ね合せ方法は、本発明による第3の画像重ね合せ方法において、前記多重解像度空間への変換を上述したウェーブレット変換により行うことを特徴とするものである。

【0030】さらに、本発明による第5の画像重ね合せ方法は、上述した本発明による第1第3または第4の画像重ね合せ方法において、前記放射線画像に含まれる前記被写体の部位に応じて到達線量の大きい部位の重み付け係数を到達線量の小さい部位に比して相対的に大きくさせることを特徴とするものである。

【0031】さらに、本発明による第6の画像重ね合せ方法は、上述した本発明による第1から第5の画像重ね合せ方法において、前記複数の画像信号を、放射線画像が蓄積記録された1枚の蓄積性蛍光体シートの両面または片面に励起光を走査して前記放射線画像を輝尽発光光に変換し、該蓄積性蛍光体シートの両面から得られる輝尽発光光を各々光電的に読み取ることにより得ることを特徴とするものである。

【0032】また、本発明による第7の画像重ね合せ方法は、前記各画像信号がアナログ画像信号であり、該各アナログ画像信号のすべてについて、該画像信号の周波数特性を変化させる重みを有するフィルタにより、該すべてのアナログ画像信号をフィルタリングし、該フィルタリング後の各アナログ画像信号の加算を行うことにより画像の重ね合わせを行うことを特徴とするものである。

【0033】さらに、本発明による第8の画像重ね合せ方法は、前記各画像信号をアナログ画像信号とし、該各アナログ画像信号のうち所望とするアナログ画像信号について、該画像信号の周波数特性を変化させる重みを有するフィルタにより、該所望とするアナログ画像信号をフィルタリングし、該フィルタリング後のアナログ画像信号とそれ以外のアナログ画像信号との加算を行うことにより画像の重ね合わせを行うことを特徴とするものである。

【0034】また、本発明による第9の画像重ね合せ方法は、本発明による第1から第8の画像重ね合せ方法において、前記複数の画像信号を、放射線画像が蓄積記録された2枚の蓄積性蛍光体シートそれぞれに励起光を走査して前記放射線画像を輝尽発光光に変換し、該輝尽発光光を光電的に読み取ることにより得ることを特徴とするものである。

【0035】さらに、本発明はエネルギーサブトラクションにも適用できるものであり、本発明による第1のエネルギーサブトラクション方法は、同一被写体を透過したそれぞれエネルギー分布が互いに異なる放射線により得られた少なくとも一部の画像情報が互いに異なる複数の放射線画像を検出することにより得られた複数の画像信号に対して相対応する画素についての信号間で各画像信号に所定の重み付け係数を乗じて減算を行って前記被

写体の特定構造物の画像を形成する差信号を得るエネルギーサブトラクション方法において、前記各画像信号の周波数特性に応じて信号対ノイズ比の低い周波数成分の重み付け係数を信号対ノイズ比の高い周波数成分の重み付け係数に比して相対的に小さくさせることを特徴とするものである。

【0036】また、本発明による第2のエネルギーサブトラクション方法は、上述した本題1のエネルギーサブトラクション方法において、前記各画像信号にフーリエ変換を施して該各画像信号を複数の周波数帯域ごとのフーリエ変換係数信号に分解し、該各フーリエ変換係数信号ごとに重み付け係数を変化させて該各フーリエ変換係数信号の減算を行って各周波数帯域ごとの減算フーリエ変換係数信号を得、該減算フーリエ変換係数信号を逆フーリエ変換することにより前記差信号を得ることを特徴とするものである。

【0037】さらに、本発明による第3のエネルギーサブトラクション方法は、本発明による第1のエネルギーサブトラクション方法において、前記各画像信号を多重解像度空間に変換して該各画像信号を複数の周波数帯域ごとの変換係数信号に分解し、該各変換係数信号ごとに重み付け係数を変化させて該各変換係数信号の減算を行って各周波数帯域ごとの減算変換係数信号を得、該減算変換係数信号を逆変換することにより前記差信号を得ることを特徴とするものである。

【0038】さらに、本発明による第4のエネルギーサブトラクション方法は、本発明による第3のエネルギーサブトラクション方法において、前記多重解像度空間への変換をウェーブレット変換により行うことを特徴とするものである。

【0039】また、本発明による第5のエネルギーサブトラクション方法は、本発明による第1、第3または第4のエネルギーサブトラクション方法において、前記放射線画像に含まれる前記被写体の部位に応じて到達線量の大きい部位の重み付け係数を到達線量の小さい部位に比して相対的に大きくさせることを特徴とするものである。

【0040】さらに、本発明による第6のエネルギーサブトラクション方法は、前記各画像信号がアナログ画像信号であり、該各アナログ画像信号のすべてについて、該画像信号の周波数特性を変化させる重みを有するフィルタにより、該すべてのアナログ画像信号をフィルタリングし、該フィルタリング後の各アナログ画像信号の減算を行うことにより前記差信号を得ることを特徴とするものである。

【0041】また、本発明による第7のエネルギーサブトラクション方法は、前記各画像信号をアナログ画像信号とし、該各アナログ画像信号のうち所望とするアナログ画像信号について、該画像信号の周波数特性を変化させる重みを有するフィルタにより、該所望とするアナ

グ画像信号をフィルタリングし、該フィルタリング後のアナログ画像信号とそれ以外のアナログ画像信号との減算を行うことにより前記差信号を得ることを特徴とするものである。

【0042】

【作用および発明の効果】本発明による画像重ね合せ方法は、上述した放射線画像の重ね合せ方法において、各画像信号の周波数特性に応じて信号対ノイズ比の低い周波数成分の重み付け係数を信号対ノイズ比の高い周波数成分の重み付け係数に比して相対的に小さくするようにしたため、加算された画像信号は全周波数帯域に亘って信号対ノイズ比の高いものとなり、この加算画像信号を再生することにより高画質の重ね合せ画像を得ることができる。

【0043】具体的には、各画像信号にフーリエ変換を施して各画像信号を複数の周波数帯域ごとのフーリエ変換係数信号に分解して、上述したように重み付け加算を行うようにすることにより、信号対ノイズ比の低い周波数成分の重み付け係数を信号対ノイズ比の高い周波数成分の重み付け係数に比して相対的に小さくさせることができ、これにより高画質の重ね合せ画像を得ることができる。

【0044】また、各画像信号をウェーブレット変換あるいはサブバンド変換等の多重解像度空間に変換して該各画像信号を複数の周波数帯域ごとの変換係数信号に分解して加算信号を得ることにより、上述したように短いフィルタで画像信号を複数の周波数帯域に分解することができるため、本発明を実施するための装置の構成を簡易なものとすることができる。

【0045】さらに、上述したように画像信号を多重解像度空間に変換することにより得られる周波数帯域ごとの画像信号は、変換前の画像信号を縮小した画像信号となっている。したがって各変換信号ごとにヒストグラム解析等を行うことにより、画像信号に含まれる部位の到達線量を知ることができ、このうち到達線量の大きい部位を表す画像信号の重み付け係数を到達線量の小さい部位に比して相対的に大きくさせることができることとなり、より高画質の画像を得ることができる。

【0046】さらに、各画像信号をアナログ画像信号とし、アナログ画像信号のすべてあるいは所望とするアナログ画像信号について、この画像信号の周波数特性を変化させる重みを有するフィルタによりフィルタリングすることにより、アナログ画像信号の所望とする周波数帯域について重み付けがなされ、このフィルタリング後の画像信号を加算して得られた加算信号を再生することにより、上述したフーリエ変換、ウェーブレット変換あるいはサブバンド変換と同様に、高画質の重ね合わせ画像を得ることができる。

【0047】また、上述したような蓄積性蛍光体シートの両面集光により画像信号を得る場合のシートの下側

(放射線源よりも遠い側)から得られた画像信号、あるいはシートを重ね合わせて放射線画像を記録した場合の放射線源より遠い側から得られた画像信号の高周波成分は、散乱光等のノイズ成分が多く含まれているため、この下側のシートから得られた画像信号の高周波成分に乘じる重み付け係数を上側のシートから得られた画像信号の高周波成分に乘じる重み付け係数に比して小さくすることにより、ノイズ成分が低減された重ね合せ信号を得ることができる。

10 【0048】さらに、上述した周波数帯域ごとに画像信号の重み付け係数を変化させる処理をエネルギーサブトラクション処理にも適用することができ、サブトラクションすべき各画像信号の周波数特性に応じて信号対ノイズ比の低い周波数成分の重み付け係数を信号対ノイズ比の高い周波数成分の重み付け係数に比して相対的に小さくさせるようにすることにより、減算された画像信号はノイズ成分の割合が少ないものとなり、この減算画像信号を再生することにより高画質のサブトラクション画像を得ることができる。

20 【0049】

【実施例】以下図面を参照して本発明の実施例について説明する。

【0050】図1は2枚の蓄積性蛍光体シート4A、4Bに、同一の被写体1を透過した放射線2を照射する状態を示す図である。

【0051】図1に示すように、第1の蓄積性蛍光体シート4Aおよび第2の蓄積性蛍光体シート4Bとを重ねて配置して放射線源3を駆動させて、放射線2を発生しめることにより、被写体1を透過した放射線2は第1および第2の蓄積性蛍光体シート4A、4Bに照射され、被写体1の放射線画像情報が蓄積性蛍光体シート4Aおよび4Bに蓄積記録される。

【0052】次にこれら2枚の蓄積性蛍光体シート4A、4Bから、図2に示すような画像読取手段によって放射線画像を読み取り、放射線画像を表す画像信号を得る。まず蓄積性蛍光体シート4Aをエンドレスベルト等の副走手手段9により矢印Yの方向に移動させながら、レーザー光源10からのレーザー光(励起光)11を走査ミラー12によって偏向させ、シート4A上をX方向に主走査させる。この励起光走査により蓄積性蛍光体シート4Aからは、蓄積記録されている放射線画像情報に応じた光量の輝尽発光光13が発散する。輝尽発光光13は、透明なアクリル板を成形して作られた光ガイド14の一端面からこの光ガイド14の内部に入射し、その中を全反射を繰返しながらか進行して、フォトマルチプライヤー(光電子増倍管)15に受光される。このフォトマルチプライヤー15からは、輝尽発光光13の発光量に対応した、つまり上記画像情報を示す出力信号S_Aが出力される。

50 【0053】この出力信号S_Aは、対数増幅器16により対数増幅され、次いでA/D変換器17に入力されて、デ

13

ジタルの画像信号 S_1 に変換される。この画像信号 S_1 は例えば磁気ディスク等の記憶媒体18に記憶される。次に、全く同様にして、もう1枚の蓄積性蛍光体シート4Bの記録画像情報が読み出され、その画像情報を示す出力信号 S_2 が得られ、対数増幅器16により対数増幅され、次いでA/D変換器17に入力されて、デジタルの画像信号 S_2 に変換され、この画像信号 S_2 が記憶媒体18に記憶される。

【0054】次に、このようにして得られた画像信号 S_1 、 S_2 を用いて重ね合せ処理を行う。図3はこの重ね合せ処理を行う装置の概略を表す図である。まず記憶媒体18内の画像ファイル18Aと、画像ファイル18Bから、画像信号 S_1 、 S_2 が読み出され、ウェーブレット変換手段19に入力される。ウェーブレット変換手段19は入力された2つの画像信号 S_1 、 S_2 をウェーブレット変換し、複数の周波数帯域ごとの変換係数信号に分解する。以下ウェーブレット変換の詳細について説明する。

【0055】図4は、画像信号 S_1 、 S_2 に対するウェーブレット変換の詳細を表す図である。ここでは、簡単のため画像信号 S_1 のウェーブレット変換について説明する。

【0056】なお、本実施例においては、ウェーブレッ*

n	0	±1	±2	±3	±4
$2^{-1/2}h$	0.602949	0.268864	-0.078223	-0.016864	0.026749
$2^{-1/2}h'$	0.557543	0.295636	-0.028772	-0.045636	0

【0060】

$$g' = (-1)^n h$$

$$g = (-1)^n h' \quad \dots (4)$$

このようにして、ウェーブレット変換係数信号 Wg_0 、 Wh_0 が求められると、ウェーブレット変換係数信号 Wg_0 、 Wh_0 について、主走査方向の画素を1画素おきに間引き、主走査方向の画素数を1/2にする。ついで、この画素が間引かれたウェーブレット変換係数信号 Wg_0 、 Wh_0 それぞれの副走査方向に関数 g 、 h によりフィルタリング処理を行い、ウェーブレット変換係数信号 WW_{u0} 、 WV_{u0} 、 VW_{u0} および VV_{u0} を得る。

【0061】次いでウェーブレット変換係数信号 W_{u0} 、 WV_{u0} 、 VW_{u0} および VV_{u0} について、副走査方向の画素を1画素おきに間引くことを行い、副走査方向の画素数を1/2とする処理を行う。これにより、各ウェーブレット変換係数信号 VV_{u0} 、 WV_{u0} 、 VW_{u0} 、 WW_{u0} の画素数は画像信号 S_1 の画素数の1/4となる。次いで、ウェーブレット変換係数信号 VV_{u0} の主走査方向に関数 g 、 h によりフィルタリング処理を行う。

【0062】すなわち、関数 g 、 h により主走査方向に並ぶ画素の一系列ごとのフィルタリング処理を副走査方向に一画素づつズラながら行い、ウェーブレット変換係数信号 VV_{u0} の主走査方向のウェーブレット変換係数信号※50

14

*ト変換の各係数が直交する直交ウェーブレット変換を行うものであり、前述したMarc Antoniniらの文献に記載されているものである。

【0057】図4に示すように、画像信号 S_1 の主走査方向に基本ウェーブレット関数より求められる関数 g と関数 h とによりフィルタリング処理を行う。すなわち、このような関数 g 、 h による主走査方向に並ぶ画素の一系列ごとのフィルタリング処理を副走査方向に一画素づつズラしながら行い、原画像データ $Sorg$ の主走査方向のウェーブレット変換係数信号 Wg_0 、 Wh_0 を求めるものである。

【0058】ここで、関数 g 、 h は基本ウェーブレット関数より一意に求められるものであり、例えば、関数 h は、以下の表1に示すものとなる。なお、表1において関数 h' は、ウェーブレット変換がなされた画像データに逆ウェーブレット変換を行う際に用いる関数を表すものである。また以下の式(4)に示すように関数 g は関数 h' から求められ、逆ウェーブレット変換を行うための関数 g' は関数 h から求められる。

【0059】

【表1】

※ Wg_1 および Wh_1 を求めるものである。

【0063】ここでウェーブレット変換係数信号 VV_{u0} は主副両方向について画素数が原画像データの1/2となっているため、画像の解像度は原画像データと比較して半分となっている。したがって、ウェーブレット変換係数信号 VV_{u0} を関数 g 、 h でフィルタリング処理を施すことにより、原画像データの周波数成分のうちウェーブレット変換係数信号 VV_{u0} が表す周波数成分よりも低周波数成分を表すウェーブレット変換係数信号 Wg_1 、 Wh_1 が求められる。

【0064】このようにして、ウェーブレット変換係数信号 Wg_1 、 Wh_1 が求められると、ウェーブレット変換係数信号 Wg_1 、 Wh_1 について、主走査方向の画素を1画素おきに間引き、主走査方向の画素数をさらに1/2とする。次いでウェーブレット変換係数信号 Wg_1 、 Wh_1 それぞれの副走査方向に関数 g 、 h によりフィルタリング処理を行い、ウェーブレット変換係数信号 WW_{u1} 、 WV_{u1} 、 VW_{u1} および VV_{u1} を得る。

【0065】次いでウェーブレット変換係数信号 W_{u1} 、 WV_{u1} 、 VW_{u1} 、 VV_{u1} について、副走査方向の画素を1画素おきに間引き、副走査方向の画素数を1/2とする処理を行う。これにより、各ウェーブレット変換係数信号 WW_{u1} 、 WV_{u1} 、 VW_{u1} 、 VV_{u1} の画素数は画

15

像信号 S_1 の画素数の $1/16$ となる。

【0066】以下、上述したと同様にして、画素が間引かれたウェーブレット変換係数信号 VV_{U1} の主走査方向に関数 g, h によりフィルタリング処理を行い、さらに得られたウェーブレット変換係数信号の主走査方向の画素を間引き、この画素を間引いたウェーブレット変換係数信号について、副走査方向に関数 g, h によりフィルタリング処理を行い、ウェーブレット変換係数信号 $WU_2, WV_{U2}, VU_2, VV_{U2}$ を得る。

【0067】このようなウェーブレット変換を N 回繰り返すことによりウェーブレット変換係数信号 $WW_{U0} \sim WW_{UN}, WV_{U0} \sim WV_{UN}, VU_{U0} \sim VU_{UN}$, および $VV_{U0} \sim VV_{UN}$ を得る。ここで、 N 回目のウェーブレット変換により得られるウェーブレット変換係数信号 WW_N, WV_N, VU_N, VV_N は、原画像データと比較して主副各方向の画素数が $(1/2)^N$ となっているため、各ウェーブレット変換係数信号は N が大きいほど周波数帯域が低く、原画像データの周波数成分のうち低周波成分を表すデータとなる。

【0068】したがって、ウェーブレット変換係数信号 WW_{Ui} ($i=0 \sim N$ 、以下同様) は、画像信号 S_1 の主副両方向の周波数の変化を表すものであり、 i が大きいほど低周波信号となる。またウェーブレット変換係数信号 WV_{Ui} は画像信号 S_1 の主走査方向の周波数の変化を表すものであり、 i が大きいほど低周波信号となる。さらにウェーブレット変換係数信号 VU_{Ui} は画像信号 S_1 の副走査方向の周波数の変化を表すものであり、 i が大きいほど低周波信号となる。

【0069】ここで、図5にウェーブレット変換係数信号を複数の周波数帯域ごとに表す図を示す。なお、図5においては便宜上3回目のウェーブレット変換を行った状態までを表すものとする。なお、図5においてウェーブレット変換係数信号 WW_3 は原画像を主副各方向が $(1/2)^3$ に縮小したものとなっている。

【0070】同様にして画像信号 S_2 についてもウェーブレット変換を施し、複数の周波数帯域ごとのウェーブレット変換係数信号 $WW_{L0} \sim WW_{LN}, WV_{L0} \sim WV_{LN}, VU_{L0} \sim VU_{LN}$ および $VV_{L0} \sim VV_{LN}$ を得る。

【0071】このように画像信号 S_1, S_2 にウェーブレット変換を施すことによって得られたウェーブレット変換係数信号は、重み付け重ね合せ手段20に入力され *

$$RMS^2 = \int \{image(X)\}^2 dx - image(X)^2 \quad (\text{平均}) \dots (5)$$

【0075】により得られた RMS^2 を周波数ごとにプロットしたものが図7(a), (b) に示す $Winer 1, 2$ となる。

【0076】ここで、 DQE なる指標を以下の式(6)により定義する

16

* する。重み付け重ね合せ手段20においては、信号対ノイズ比が低い周波数帯域の重み付け係数を信号対ノイズ比が高い周波数帯域の重み付け係数に比して相対的に小さくさせて重み付け処理がなされる。まず、この重み付け係数の決定について説明する。

【0072】2枚の蓄積性蛍光体シート4A, 4Bから得られた画像信号 S_1, S_2 はそれぞれ図6(a), (b) に示すようなMTF (Modulation Transfer Function, 周波数依存特性) を有する。ここで、MTFはCTFチャート (Contrast Transfer Function Chart) を撮影することにより得られるものであり、各周波数帯域ごとの画像信号の解像度の大きさを表すものである。すなわち、図6(a) に示すように、放射線源に近い上側の蓄積性蛍光体シート4Aから得られた画像信号 S_1 のMTF 1は、高周波数帯域まで大きいため、画像信号 S_1 は高周波数帯域までの情報を有するが、図6(b) に示すように放射線源から遠い下側の蓄積性蛍光体シート4Bから得られた画像信号 S_2 は、画像信号 S_1 と比較して高周波数帯域側のMTF 2が小さくなっており、高周波数帯域の情報が少ないものとなっている。これは、画像信号 S_2 の高周波数帯域の情報は、撮影時の散乱線等のノイズを含み、さらには、高周波数帯域側の細かい情報が放射線源から遠いことに起因してボケていることを表している。よって、このMTFに応じて各ウェーブレット変換係数信号の重み付け係数を変化させ各ウェーブレット変換係数信号の加算を行うものである。ここで、各ウェーブレット変換係数信号の重み付け係数を決定する方法について説明する。

【0073】まず、図6(a), (b) に示す各画像信号の周波数特性MTF 1, 2と併せて、図7(a), (b) に示すように各画像信号のノイズの周波数特性 $Winer 1, 2$ を求める。ここで $Winer 1, 2$ は、前述した撮影装置において、ノイズだけの画像すなわち被写体を置かないで撮影を行って得られたノイズ画像信号の周波数ごとの分散を求めたものをいう。すなわち、 $Winer 1$ についてみると、ノイズだけの画像を撮影して上側の蓄積性蛍光体シート4Aから得られたノイズ画像信号 $Image(X 1)$ について、

【0074】

【数4】

※【0077】

【数5】

$$DQE \propto (MTF)^2 / Winer \dots (6)$$

【0078】式(6)は DQE が高いほど画質が良いことを示している。また、 DQE は周波数ごとに求められる

※50

17

ものである。

【0079】次いで、上述したMTF1, 2を得た際に*

$$\text{add} \cdot (t) = t \times \text{Image} 1(X) + (1-t) \times \text{Image} 2(X) \quad \dots(7)$$

により加算した加算画像信号 $\text{add}(t)$ について、 t を0～1まで変化させることにより、複数の加算画像信号 $\text{add}(t)$ を得る。そして、各加算画像信号 $\text{add}(t)$ についてDQEを算出し、 t を横軸に、DQEを縦軸にとってプロットする。図8は、複数の周波数帯域ごとに得られた、 t とDQEとの関係を表す図である。図8(a)示すように周波数帯域が1サイクル/mm(図8においては1c/mmと表示)のときは $t=0.5$ でDQEが最大となる。また、図8(b)に示すように、周波数帯域が2サイクル/mmのときは $t=0.7$ で、図8(c)に示すように周波数帯*

$$\begin{aligned} WW_i &= t \cdot WW_{Ui} + (1-t) WW_{Li} \\ WV_i &= t \cdot WV_{Ui} + (1-t) WV_{Li} \\ VW_i &= t \cdot VW_{Ui} + (1-t) VW_{Li} \\ VV_i &= t \cdot VV_{Ui} + (1-t) VV_{Li} \end{aligned} \quad \dots(8)$$

により重み付け加算を行う。例えば、周波数帯域の加算係数信号 WW_1 を得る場合は、係数信号 WW_{L1} は係数信*

$$WW_1 = 0.8 \times WW_{U1} + 0.2 \times WW_{L1} \quad \dots(9)$$

により係数信号 WW_1 を得る。なお、加算係数信号 VV_1 , VW_1 についても加算係数信号の WW_1 を得る場合と同様の重み付けにより求めればよい。

【0082】一方、ウェーブレット変換係数信号 WW_1 ☆

$$WW_2 = 0.6 \times WW_{U2} + 0.4 \times WW_{L2} \quad \dots(10)$$

により加算係数信号 WW_2 を得る。加算係数信号 WV_2 , VW_2 についても加算係数信号 WW_2 を得る場合と同様の重み付けにより求めればよい。

【0083】また、ウェーブレット変換係数信号 WW_2 ◆

$$WW_3 = 0.5 \times WW_{U3} + 0.5 \times WW_{L3} \quad \dots(11)$$

により加算係数信号 WW_3 を得る。加算係数信号 WV_3 , VW_3 についても加算係数信号 WW_3 を得る場合と同様の重み付けにより求めればよい。

【0084】さらに、ウェーブレット変換係数信号 WW_3 よりも低周波数帯域の加算係数信号 $WW_4 \sim WW_N$ を得る場合については、係数信号 $WW_{U4} \sim WW_{UN}$, $WW_{L4} \sim WW_{LN}$ はともに略同程度の情報を有するものであるため、 t の値を0.5として加算係数信号 $WW_4 \sim WW_N$ を求めればよい。

【0085】このように重み付け係数を決定することにより、原画像のMTFおよびWinerがどのような特性であっても、周波数ごとに最適な重み付け係数を決定することができる。

【0086】以上のようにして重み付け重ね合せ手段20において加算ウェーブレット変換係数信号 $WW_1 \sim WW_N$, $WV_1 \sim WV_N$, $VW_1 \sim VW_N$, $VV_1 \sim VV_N$ が得られると、各加算ウェーブレット変換係数信号は逆ウェーブレット変換手段21において逆ウェーブレット変換が施される。以下、逆ウェーブレット変換の詳細について説明する。

18

*得られる周波数帯域ごとの画像信号 $\text{Image} 1(X)$, $\text{Image} 2(X)$ を、

※域が3サイクル/mmのときは $t=0.9$ でそれぞれDQEが最大となる。

【0080】このように、各周波数帯域ごとにDQEが最大となる t をプロットすることにより、図9に示すような重み付けテーブルを得ることができる。図9に示すような重み付けテーブルに基づいて、前述した各ウェーブレット変換係数信号の加算が行われる。

【0081】すなわち、各周波数帯域ごとのウェーブレット変換係数信号について、

★号 WW_{U1} と比較してノイズが大きく情報量が少ないため、 t の値を大きくする。すなわち、

☆よりも低周波数帯域の加算係数信号 WW_2 を求める場合は、係数信号 WW_{L2} は係数信号 WW_{U2} と比較しても係数信号 WW_{L1} ほどノイズが大きく情報量が少ないこともないため、 t の値を0.6程度にし、

◆よりも低周波数帯域の加算係数信号 WW_3 を求める場合は、係数信号 WW_{L2} , WW_{U2} はともに略同程度の情報を有するものであるため、 t の値を0.5とし、

*【0087】図10は、逆ウェーブレット変換の詳細を表す図である。

【0088】図10に示すように、まず各加算ウェーブレット変換係数信号 VV_N , VW_N , WV_N , WW_N について副走査方向に並ぶ画素間に1画素分の間隔をあける処理を行う(図では×2と表示)。次いでこの間隔がつけられた加算ウェーブレット変換係数信号 VV_N を副走査方向に前述した関数 h とは異なる関数 h' により、加算ウェーブレット変換係数信号 VW_N を副走査方向に前述した関数 g とは異なる関数 g' によりフィルタリング処理を行う。すなわち、関数 g' , h' による加算ウェーブレット変換係数信号 VV_N , VW_N の副走査方向に並ぶ一列の画素ごとのフィルタリング処理を主走査方向に一画素ずつズラしながら行い、加算ウェーブレット変換係数信号 VV_N , VW_N の逆ウェーブレット変換係数信号を得、これを2倍して加算することにより逆ウェーブレット変換係数信号 WhN' を得る。

【0089】このようにウェーブレット変換を行う関数と逆ウェーブレット変換を行う関数とを異なるものとしているのは、以下のような理由からである。ウェーブレ

ット変換と逆ウェーブレット変換で同一の関数となる、すなわち、直交する関数を設計することは難しく、直交性、連続性、関数の長さ、対称性のいずれかの条件を緩める必要がある。そこで、直交性の条件を緩めることにより他の条件を満たす関数を選択したものである。

【0090】以上より、本実施例ではウェーブレット変換を行う関数 h 、 g と逆ウェーブレット変換を行う関数 h' 、 g' とを双直交の異なるものとしている。したがって、加算ウェーブレット変換係数信号 VVi 、 VWi 、 WVi 、 WWi を関数 h' 、 g' で逆ウェーブレット変換することにより、画像信号 S_1 、 S_2 の加算信号を完全に復元できることとなる。

【0091】一方、これと並列して、加算ウェーブレット変換係数信号 WVN を副走査方向に関数 h' により、加算ウェーブレット変換係数信号 WWN を副走査方向に関数 g' によりフィルタリング処理を行い、加算ウェーブレット変換係数信号 WVN 、 WWN の逆ウェーブレット変換係数信号を得、これを2倍して加算することにより逆ウェーブレット変換係数信号 WgN' を得る。

【0092】次いで、逆ウェーブレット変換係数信号 WhN' 、 WgN' について主走査方向に並ぶ画素間に1画素分の間隔をあける処理を行う。その後逆ウェーブレット変換係数信号 WhN' を主走査方向に関数 h' により、逆ウェーブレット変換係数信号 WgN' を主走査方向に関数 g' によりフィルタリング処理し、ウェーブレット変換係数信号 WhN' 、 WgN' の逆ウェーブレット変換係数信号を得、これを2倍して加算することにより加算逆ウェーブレット変換係数信号 $VVN-1'$ を得る。

【0093】次いでこの加算逆ウェーブレット変換係数信号 $VVN-1'$ 、加算ウェーブレット変換係数信号 $VWN-1$ 、 $WVN-1$ 、 $WWN-1$ について副走査方向に並ぶ画素間に1画素分の間隔をあける処理を行う。その後この加算逆ウェーブレット変換係数信号 $VVN-1'$ を副走査方向に前述した関数 h' により、加算ウェーブレット変換係数信号 $VWN-1$ を副走査方向に前述した関数 g' によりフィルタリング処理を行う。すなわち、関数 g' 、 h' による加算ウェーブレット変換係数信号 $VVN-1'$ 、 $VWN-1$ の副走査方向に並ぶ一列の画素ごとのフィルタリング処理を主走査方向に一画素ずつズラしながら行い、加算ウェーブレット変換係数信号 $VVN-1'$ 、 $VWN-1$ の逆ウェーブレット変換係数信号を得、これを2倍して加算することにより逆ウェーブレット変換係数信号 $WhN-1'$ を得る。

【0094】一方、これと並列して、加算ウェーブレット変換係数信号 $WVN-1$ を副走査方向に関数 h' により、加算ウェーブレット変換係数信号 $WWN-1$ を副走査

方向に関数 g' によりフィルタリング処理を行い、加算ウェーブレット変換係数信号 $WVN-1$ 、 $WWN-1$ の逆ウェーブレット変換係数信号を得、これを2倍して加算することにより加算逆ウェーブレット変換係数信号 $WgN-1'$ を得る。

【0095】次いで、逆ウェーブレット変換係数信号 $WhN-1'$ 、 $WgN-1'$ について主走査方向に並ぶ画素間に1画素分の間隔をあける処理を行う。その後逆ウェーブレット変換係数信号 $WhN-1'$ を主走査方向に関数 h' により、逆ウェーブレット変換係数信号 $WgN-1'$ を主走査方向に関数 g' によりフィルタリング処理し、ウェーブレット変換係数信号 $WhN-1'$ 、 $WgN-1'$ の逆ウェーブレット変換係数信号を得、これを2倍して加算することにより加算逆ウェーブレット変換係数信号 $VVN-2'$ を得る。

【0096】以下、順次加算逆ウェーブレット変換係数信号 VVi' ($i=-1\sim N$)を作成し、最終的に加算逆ウェーブレット変換係数信号 $VV-1'$ を得る。この最終的な加算逆ウェーブレット変換係数信号 $VV-1'$ が画像信号 S_1 、 S_2 の加算画像信号 S_{add} となる。

【0097】このようにして得られたウェーブレット変換係数信号 $VV-1'$ は画像処理手段22で所定の画像処理が施され、再生手段23において放射線画像の再生に供せられる。

【0098】この再生手段は、CRT等のディスプレイ手段でもよいし、感光フィルムに光走査記録を行う記録装置であってもよい。

【0099】このようにして、2つの画像信号 S_1 、 S_2 をウェーブレット変換し、複数の周波数帯域ごとのウェーブレット変換係数信号を得、各周波数帯域ごとのウェーブレット変換係数信号について、高周波数帯域の係数信号については上側の蓄積性蛍光体シートから得られた画像信号の重み付け係数を下側の蓄積性蛍光体シートから得られた画像信号の重み付け係数よりも大きくすることにより、下側の蓄積性蛍光体シートから得られた画像信号に含まれるノイズ成分が低減された加算ウェーブレット変換係数信号が得られるため、各加算ウェーブレット変換係数信号を逆ウェーブレット変換することにより得られる加算信号を再生することにより、ノイズ成分が低減された高画質の再生画像を得ることができる。

【0100】なお、上述した実施例においては、ウェーブレット変換を行うための関数 h 、 h' として表1に示すものを用いたが、これに限定されるものではなく以下に示す表2、表3に示すものを用いてもよい。

【0101】

【表2】

2 1	2 2				
n	0	± 1	± 2	± 3	± 4
$2^{-1/2}h$	0.6	0.25	-0.05	0	0
$2^{-1/2}h'$	17/28	73/280	-3/56	-3/280	0

【0102】

* * 【表3】

n	0	± 1	± 2	± 3	± 4
$2^{-1/2}h$	45/64	19/64	-1/8	-3/64	3/128
$2^{-1/2}h'$	1/2	1/4	0	0	0

【0103】また、これ以外にもウェーブレット変換を行うことのできる関数であれば、いかなる関数を用いてもよく、例えば双直交ではなく対称ではないが直交するものを用いてもよい。

【0104】さらに、表1、2および3に示すように $n=0$ の軸に関して左右対称な関数のみではなく、 $n=0$ の軸に関して左右非対称な関数を用いてウェーブレット※

$$g[n] = g'[-n]$$

$$h[n] = h'[-n]$$

但し、 $[-n]$ は左右反転を表す。

【0105】となる。

【0106】また、上述した実施例においては、ウェーブレット変換により画像信号 S_1 、 S_2 を複数の周波数帯域の変換係数信号に分解しているが、サブバンド変換により画像信号 S_1 、 S_2 を複数の周波数帯域の変換係数信号に分解するようにしてもよい。サブバンド変換は、ウェーブレット変換が1種類の関数により画像信号をフィルタリングすることにより複数の周波数帯域ごとの変換係数信号を順次得るのに対し、周期が異なる複数の関数により画像信号をフィルタリング処理することにより1度の処理で複数の周波数帯域ごとの変換係数信号を得るものである。

【0107】例えば、上述した実施例においては、関数 g 、 h により画像信号をフィルタリング処理することにより複数の周波数帯域ごとの画像信号を得るようにしているが、サブバンド変換は図11に示すように画像信号 S_1 をサブバンド変換する場合は、関数 g 、 h の周期が2倍、4倍、…… 2^n 倍となる複数の周波数 g_1 、 h_1 、 g_2 、 h_2 、…… g_N 、 h_N により画像信号 S_1 をフィルタリング処理することにより複数の周波数帯域ごとの係数信号 $WW_{U1} \sim WW_{UN}$ 、 $WV_{U1} \sim WV_{UN}$ 、 $VW_{U1} \sim VW_{UN}$ 、 $VV_{U1} \sim VV_{UN}$ を得ることができ、また同様に画像信号 S_2 についての複数の周波数帯域ごとの係数信号 $WW_{L1} \sim WW_{LN}$ 、 $WV_{L1} \sim WV_{LN}$ 、 $VW_{L1} \sim VW_{LN}$ 、 $VV_{L1} \sim VV_{LN}$ を得ることができる。

【0108】そしてこのようにして得られた各周波数帯域ごとの係数信号に対し、前述したウェーブレット変換の場合と同様に重み付け係数を周波数帯域ごとに变化させて周波数帯域ごとに係数信号の重み付け加算を行って★50

※変換を行うようにしてもよいものである。このように左右非対称な関数を用いてウェーブレット変換を行った場合は、ウェーブレット変換を行った関数を $n=0$ の軸に関して左右を反転させた関数を用いて逆ウェーブレット変換を行うものである。すなわち、左右非対称な関数 g 、 h について、逆ウェーブレット変換を行う関数 g' 、 h' は、

---(12)

★加算係数信号を得、この加算係数信号を逆サブバンド変換することにより、ウェーブレット変換の場合と同様に、重み付け加算がなされた加算信号 S_{add} を得ることができる。

【0109】さらに、上述した実施例においては、ウェーブレット変換、サブバンド変換により画像信号を複数の周波数帯域ごとの画像信号に変換するようにしているが、フーリエ変換により画像信号を複数の周波数帯域ごとの画像信号に変換するようにしてもよいものである。但し、フーリエ変換は例えば図12に示すように複数の周波数帯域の長いフィルタを用いる必要があり、たとえ高速フーリエ変換法を用いても、短いフィルタにより画像信号を分解することができるウェーブレット変換、サブバンド変換の方が、本発明を実施するための装置の構成を簡易なものとすることができる。

【0110】なお、前述した蓄積性蛍光体シートに照射される放射線量によっても得られる画像の周波数依存特性が異なるので、読取装置から読取り時の中心線量を得、線量別に保持している加算比テーブルを参照して周波数帯域ごとの画像信号の加算比を決定するようにしてもよい。

【0111】また、上述したウェーブレット変換、あるいはサブバンド変換により得られた変換係数信号は、元の画像信号を縮小した画像信号となっており、例えば、人間の胸部の撮影により得られた画像信号をウェーブレット変換あるいはサブバンド変換した変換係数信号は図13に示すように、原画像を縮小した画像のようなものになっている。このような胸部画像においては、観察の対象となるのは蓄積性蛍光体シートへの到達線量が大い各変換係数における肺野部（係数信号 WW_1 に対応する

位置における肺野部30)である。また、上述したように画像の周波数依存特性は蓄積性蛍光体シートに照射される放射線の量によっても異なるものである。したがって、ウェーブレット変換、サブバンド変換により得られた変換係数信号について、例えばヒストグラム解析等を行い、画像内における部位ごとの放射線の到達線量を求め、到達線量の大きい部位を表す変換係数信号の重み付け係数を、到達線量の小さい部位を表す変換係数信号に比して大きくすることにより、観察読影適性に優れた画像を得ることができる。すなわち、各変換係数信号について到達線量を求め、到達線量の大きい肺野部の画素に対応する係数信号については、重み付け係数を大きくする。例えば、図13に示す係数信号WW_{U1}においては、肺野部30については係数信号WW_{U1}との重ね合せの比を2:1とし、肺野部3D以外の部分31においては1:1とするように、重要な観察領域である到達線量の大きい肺野部30についての重み付け係数にさらに重み付けをして係数信号の加算を行うようにすればよい。

【0112】このように、画像信号の部位にも依存して加算時の重み付け係数を変化させることにより、到達線量ごとに重み付け係数を変えた加算信号を得ることができる。より観察読影適性に優れた高画質の画像を得ることができる。

【0113】また、上述した実施例においては、図1に示すように、2枚の蓄積性蛍光体シート4A、4Bに放射線画像を蓄積記録し、各シート4A、4Bから得られた画像信号を加算するようにしているが、図14に示すように、1枚の蓄積性蛍光体シート4Aに被写体1の放射線画像を蓄積記録し、図15に示すようにこの蓄積性蛍光体シート4Aの両面から重ね合わせるべき画像信号を得るようにしてもよい。以下この両面読取りの詳細について説明する。

【0114】蓄積性蛍光体シート4Aが、図示しないモーターにより回転せしめられるエンドレスベルト9a、9b上に配置される。このシート4Aの上方には、励起光であるレーザ光11を発するレーザ光源10と、そのレーザ光11を反射偏向し、シート4Aを主走査する図示しないモーターにより回転される回転多面鏡12が配されている。さらに、レーザ光11が走査される位置の上方には、そのレーザ光11の走査により発せられる輝尽発光光を上方より集光する集光ガイド14aが近接して配置され、その位置の下方には、輝尽発光光を下方より集光する集光ガイド14bがシート4Aと垂直に配置されている。各集光ガイド14a、14bは、それぞれ輝尽発光光を光電的に検出するフォトマルチプライヤ(光電子増倍管)15a、15bが接続されている。このフォトマルチプライヤ15a、15bは対数増幅器16a、16bに接続され、さらにこの対数増幅器16a、16bは、A/D変換器17a、17bに接続され、各A/D変換器17a、17bは記憶装置18に接続されている。

【0115】被写体の放射線画像が蓄積記録された蓄積性蛍光体シート4Aがエンドレスベルト9a、9b上にセットされる。この所定位置にセットされた蓄積性蛍光体シート4Aは、エンドレスベルト9a、9bにより、矢印Y方向に搬送(副走査)される。一方、レーザ光源10から発せられたレーザ光11は図示しないモーターにより駆動され矢印方向に高速回転する回転多面鏡12によって反射偏向され、シート4Aに入射し副走査の方向(矢印Y方向)と略垂直な矢印X方向に主走査する。このレーザ光11が照射されたシート4Aの箇所からは、蓄積記録されている放射線画像情報に応じた光量の輝尽発光光13a、13b(ここで、輝尽発光光13a、13bはそれぞれシート4Aの上方、下方から発散されたものを示す)が発散される。この輝尽発光光13aは集光ガイド14aによって導かれ、フォトマルチプライヤ(光電子増倍管)15aによって光電的に検出される。入射端面から集光ガイド14a内に入射した輝尽発光光13aは、集光ガイド14aの内部を全反射を繰り返して進み、出射端面から出射してフォトマルチプライヤ15aに受光され、放射線画像を表す輝尽発光光13aの光量がフォトマルチプライヤ15aによって電気信号に変換される。同様に、輝尽発光光13bは集光ガイド14bによって導かれ、フォトマルチプライヤ(光電子増倍管)15bによって光電的に検出される。

【0116】フォトマルチプライヤ15aから出力されたアナログ出力信号S_aは対数増幅器16aで対数的に増幅されてA/D変換器17aに入力され、ここでデジタル画像信号S₁に変換されて記憶媒体18に入力される。また同様に、フォトマルチプライヤ15bから出力されたアナログ出力信号S_bは対数増幅器16bで対数的に増幅されてA/D変換器17bに入力され、ここでデジタル画像信号S₂に変換されて記憶媒体18に入力される。これら2つの画像信号S₁、S₂は、ウェーブレット変換、サブバンド変換あるいはフーリエ変換により複数の周波数帯域ごとの係数信号に分解され、前述した実施例と同様に蓄積性蛍光体シート4Aの上側から得られた画像信号S₁の高周波数帯域の係数信号の重み付け係数を、蓄積性蛍光体シート4Aの下側から得られた画像信号S₂の高周波数帯域の係数信号の重み付け係数に比して大きくして各周波数帯域ごとの係数信号が加算され、加算された加算係数信号は逆ウェーブレット変換、逆サブバンド変換あるいは逆フーリエ変換される。このようにして得られた加算信号を再生することにより、前述した実施例と同様にノイズ成分が低減された高画質の再生画像を得ることができる。

【0117】なお、上述した両面読取りの実施例では、1つのレーザ光源10から発生せられたレーザ光11により蓄積性蛍光体シート4Aを走査するようにしているが、これに限定されるものではなく、図16に示すように蓄積性蛍光体シート4Aの表面側、裏面側にそれぞれレーザ光源10a、10b、回転多面鏡12a、12bをそれぞれ設

25

け、蓄積性蛍光体シート4Aの両面にレーザ光11a, 11bを走査して輝尽発光光を読み取って2つの画像信号を得るようにしてもよい。

【0118】また、両面読取りの実施例により得られた画像信号 S_1 , S_2 にウェーブレット変換、サブバンド変換を施す場合は、前述した実施例と同様に、画像信号の部位に依存して係数信号の加算時の重み付け係数を変化させることができ、これにより画像信号の到達線量ごとに重み付け係数を変えた信号を得ることができ、より観察読影適性に優れた高画質の画像を得ることができ

る。
【0119】なお、上述した実施例においては、A/D変換器17, 17a, 17bによりデジタル化された画像信号 S_1 , S_2 についてウェーブレット変換、フーリエ変換により各画像信号 S_1 , S_2 の周波数特性に応じて信号対ノイズ比の低い周波数成分の重み付け係数を信号対ノイズ比の高い周波数成分の重み付け係数に比して相対的に小さくする処理を施すようにしているが、これに限定されるものではなく、図2、図15あるいは図16に示す放射線画像読取装置により蓄積性蛍光体シート4A, 4Bから得られたアナログの出力信号 S_A , S_B に対して上記処理を施すようにしてもよいものである。

【0120】以下、アナログの出力信号 S_A , S_B に対して上記処理を施す実施例について説明する。

【0121】図17はアナログの出力信号 S_A , S_B に対して上記処理を施す実施例を説明するための図である。図17に示すように、上述した図2、図15あるいは図16に示す放射線画像読取装置により蓄積性蛍光体シート4A, 4Bから得られたアナログの出力信号 S_A , S_B は対数変換器16a, 16bに入力される。対数変換器16a, 16bにおいて対数増幅された出力信号 S_A , S_B は、周波数処理回路40a, 40bに入力される。周波数処理回路40a, 40bにおいては、以下に示す処理がなされる。

【0122】ここで、上述したような蓄積性蛍光体シートの両面集光により画像信号を得る場合のシートの下側（放射線源よりも遠い側）から得られた画像信号、あるいはシートを重ね合せて放射線画像を記録した場合の放射線源より遠い側から得られた画像信号の高周波成分は、散乱光等のノイズ成分が多く含まれているため、この下側のシートから得られた画像信号の高周波数成分に乗じる重み付け係数を上側のシートから得られた画像信号の高周波数成分に乗じる重み付け係数に比して小さくすることにより、ノイズ成分が低減された重ね合せ信号を得ることができる。したがって周波数処理回路40aにおいては図18に示すフィルタにより、出力信号 S_A の高周波成分を強調するフィルタリング処理を行い、周波数処理回路40bにおいては、図19に示すフィルタにより、出力信号 S_B の高周波成分を低減させるフィルタリング処理を行う。なお、出力信号 S_A , S_B はアナログ信号であるため、出力信号 S_A , S_B の主走査方向について

26

のみ上記フィルタリング処理がなされるものである。

【0123】このようにして、周波数処理回路40a, 40bにおいて周波数処理がなされた出力信号 S_A , S_B は、エリアジング除去フィルタ41a, 41bによりエリアジングによる誤差が除去されてA/D変換器17a, 17bに入力されて、デジタルの画像信号 S_1 , S_2 に変換される。このようにして得られたデジタルの画像信号 S_1 , S_2 は加算され、上述した実施例と同様にして加算信号 S_{add} に対して画像処理手段において所定の画像処理が施され、再生手段において可視像として再生される。

【0124】なおここで図18, 19に示すフィルタはデジタルの画像信号 S_1 , S_2 が加算したときの加算信号 S_{add} のDQEが最高となるように、加算比が、1サイクル/mmにおいては $S_A : S_B = 0.5 : 0.5$ 、2サイクル/mmにおいては $0.7 : 0.3$ 、3サイクル/mmにおいては $0.9 : 0.1$ となるように設定されている。このことは、出力信号 S_B に対してフィルタリング処理を施すための周波数処理回路40b、エリアジング除去フィルタ41b等の手段のレスポンスは、出力信号 S_B の3サイクル/mm程度の高周波成分においては、低周波成分（1サイクル/mm）と比べて20%程度でよいことを表している。したがって、周波数処理回路40b、エリアジング除去フィルタ41b等の出力信号 S_B を処理する手段は、通常の読取りを行う装置に用いられている手段よりも狭い処理可能帯域の回路で十分に処理可能となる。

【0125】このように、アナログの出力信号 S_A , S_B に対して出力信号 S_A , S_B の周波数特性に応じて信号対ノイズ比の低い周波数成分の重み付け係数を信号対ノイズ比の高い周波数成分の重み付け係数に比して相対的に小さくする処理を施すことにより、デジタルの画像信号 S_1 , S_2 に対して上記処理を施す場合と同様に、加算信号は全周波数帯域に亘って信号対ノイズ比の高いものとなり、この加算信号を再生することにより、高画質の重ね合せ画像を得ることができる。また、出力信号 S_B の高周波成分を十分に低減させることにより、エリアジング除去フィルタ41bのカットオフ周波数を下げることができ、A/D変換器17bによりA/D変換する際のエリアジングをより低減することができる。さらに、出力信号 S_B のログアンプ、エリアジング除去フィルタを構成するパーツにそれほど高速処理を必要としなくなるため、高速処理を行うことができない廉価のオペアンプ、トランジスタ等のパーツを使用することができ、装置のコストを低下させることができる。

【0126】なお、上述したアナログ出力信号 S_A , S_B に対して処理を施す実施例においては、周波数処理回路40a, 40bにより周波数処理を施すようにしているが、対数増幅器16a, 16b、エリアジング除去フィルタ41a, 41bの周波数特性を変化させることにより、エリアジング除去フィルタ41a, 41bで行われるような出力信号 S_A の高周波成分を強調し、出力信号 S_B の高周波

27

成分を低減させるようにしてもよいものである。

【0127】また、上述したアナログ出力信号 S_A 、 S_B に対して処理を施す実施例においては、双方のアナログ出力信号 S_A 、 S_B に対して処理を施すようにしているが、これに限られるものではなく、いずれか一方のアナログ画像信号に対して周波数処理を施し、処理後のアナログ出力信号と、未処理のアナログ出力信号とをデジタル変換して加算を行うようにしてもよい。

【0128】上述した実施例においては、2つの画像信号を重ね合わせるときに画像信号を複数の周波数帯域ごとの係数信号に分解して重み付けを行うようにしているが、これに限定されるものではなく、2つの画像信号の差分をとるエネルギーサブトラクションを行う場合であっても上述したように重み付けをすることができるものである。以下、エネルギーサブトラクションを行う画像信号の重み付けについて説明する。

【0129】図20は2枚の蓄積性蛍光体シート4A、4Bに、同一の被写体1を透過した放射線2を、それぞれエネルギーを変えて照射するいわゆる1ショットエネルギーサブトラクションを行うための撮影装置を表す図である。すなわち放射線源3に近い方に第1の蓄積性蛍光体シート4Aを配し、それと若干の距離を置いて第2の蓄積性蛍光体シート4Bを配置し、これら両シート4A、4Bの間には、銅板からなる放射線エネルギー変換用フィルター5を配置して、放射線源3を駆動させる。それにより、第1の蓄積性蛍光体シート4Aには、いわゆる軟線も含む放射線2により、一方第2の蓄積性蛍光体シート4Bには、軟線が除かれた放射線2により被写体1の放射線画像が蓄積記録される。このとき蓄積性蛍光体シート4Aと4Bとで被写体1の位置関係は同じとする。

【0130】上記のようにすると、2枚の蓄積性蛍光体シート4A、4Bには、被写体1の少なくとも一部の画像情報が互いに異なる放射線画像が記録される。

【0131】次にこれら2枚の蓄積性蛍光体シート4

$$\begin{aligned} WW_i &= t \cdot WW_{Ui} - (1-t) WW_{Li} \\ WV_i &= t \cdot WV_{Ui} - (1-t) WV_{Li} \\ VW_i &= t \cdot VW_{Ui} - (1-t) VW_{Li} \\ VV_i &= t \cdot VV_{Ui} - (1-t) VV_{Li} \end{aligned} \quad \dots (13)$$

により重み付けサブトラクション処理を行う。

【0135】重み付けサブトラクション手段31においてサブトラクション係数信号 $WW_1 \sim WW_N$ 、 $WV_1 \sim WV_N$ 、 $VW_1 \sim VW_N$ 、 $VV_1 \sim VV_N$ が得られると、各サブトラクション係数信号は逆ウェーブレット変換手段32において、前述した重ね合わせの実施例と同様に逆ウェーブレット変換が施される。逆ウェーブレット変換が施されたサブトラクション信号は画像処理手段33に入力され、所定の画像処理が施された後、再生手段34に入力されて可視像として再生される。

【0136】このようにして、2つの画像信号 S_1 、 S_2

28

* A、4Bから、前述した図2に示すような画像読取手段によって放射線画像を読み取り、画像を表すデジタル画像信号 S_1 、 S_2 を得る。得られた画像信号 S_1 、 S_2 は記憶媒体18に記憶される。

【0132】次に、上述のようにして得られたデジタル画像信号 S_1 、 S_2 を用いてサブトラクション処理を行う。図21はこのサブトラクション処理の概略を表す図である。まず記憶媒体18内の画像ファイル18Aと、画像ファイル18Bから、画像信号 S_1 、 S_2 が読み出され、ウェーブレット変換手段30に入力される。ウェーブレット変換手段30は入力された2つの画像信号 S_1 、 S_2 をウェーブレット変換し、前述した重ね合わせの実施例と同様に、複数の周波数帯域ごとの画像信号に分解する。これにより、画像信号 S_1 より得られるウェーブレット変換係数信号 $WW_{U0} \sim WW_{UN}$ 、 $WV_{U0} \sim WV_{UN}$ 、 $VW_{U0} \sim VW_{UN}$ および $VV_{U0} \sim VV_{UN}$ ならびに画像信号 S_2 により得られるウェーブレット変換係数信号 $WW_{L0} \sim WW_{LN}$ 、 $WV_{L0} \sim WV_{LN}$ 、 $VW_{L0} \sim VW_{LN}$ および $VV_{L0} \sim VV_{LN}$ を得る。

【0133】このようにして得られたウェーブレット変換係数信号は重み付けサブトラクション手段31に入力される。重み付けサブトラクション手段31においては、ノイズ成分が多い周波数帯域の重み付け係数をノイズ成分が少ない周波数帯域の重み付け係数に比して相対的に小さくさせてサブトラクション処理がなされる。ここで、画像信号 S_2 の高周波数帯域の情報は、撮影時の散乱線等のノイズを含み、さらには、高周波数帯域側の情報が遠いことに起因してボケているため、2つの画像信号 S_1 、 S_2 は前述した図6(a)、(b)に示すような周波数特性を有する。したがって、2つの画像信号 S_1 、 S_2 のサブトラクション処理をする際の重み付け係数は、前述した図9に示すような重み付けテーブルに従って定められ、この重み付け係数に基づいて各ウェーブレット変換係数信号のサブトラクション処理が行われる。

【0134】すなわち、各周波数帯域ごとのウェーブレット変換係数信号について、

40※2をウェーブレット変換し、複数の周波数帯域ごとのウェーブレット変換係数信号を得、各周波数帯域ごとのウェーブレット変換係数信号について、高周波数帯域の係数信号については上側の蓄積性蛍光体シートから得られる画像信号の重み付け係数を下側の蓄積性蛍光体シートから得られた画像信号の重み付け係数よりも大きくすることにより、ノイズが低減されたサブトラクション信号が得られ、これを再生することによりノイズ成分が低減された高画質の再生画像を得ることができる。

【0137】なお、上述したサブトラクション処理の実施例では、1回の撮影によりサブトラクションすべき2

つの画像信号 S_1 、 S_2 を同時に得るいわゆる1ショット法について説明したが、これに限定されるものではなく、2枚の蓄積性蛍光体シートにエネルギー分布が異なる2種類の放射線を用いて撮影を行ういわゆる2ショット法により得られた画像信号をサブトラクション処理する場合についても、得られた画像信号を複数の周波数帯域ごとの係数信号に分解して各周波数帯域ごとの係数信号について重み付けサブトラクション処理を施すようにしてもよいものである。この場合の重み付け係数は2枚の蓄積性蛍光体シートに放射線画像を蓄積記録する際の2種類の放射線のエネルギー分布により得られるMTF等に基づいて決定すればよい。

【0138】さらに、上述した実施例においては、ウェーブレット変換により画像信号を複数の周波数帯域ごとの画像信号に変換するようにしているが、サブバンド変換、フーリエ変換により画像信号を複数の周波数帯域ごとの画像信号に変換するようにしてもよいものである。但し、フーリエ変換は例えば図12に示すように複数周波数帯域の長いフィルタを用いる必要があるため、短いフィルタにより画像信号を分解することができるウェーブレット変換、サブバンド変換の方が、本発明を実施するための装置の構成を簡易なものとすることができる。

【0139】また、上述したウェーブレット変換、あるいはサブバンド変換により得られた係数信号は、元の画像信号を縮小した画像信号となっており、例えば、人間の胸部の撮影により得られた画像信号をウェーブレット変換あるいはサブバンド変換した変換係数信号は図13に示すように、原画像を縮小した画像のようなものとなっているため、前述した重ね合せの実施例同様に画像信号の部位にも依存してサブトラクション処理時の重み付け係数を変化させるようにしてもよい。これにより画像信号の到達線量ごとに異なる重み付けをしたサブトラクション信号を得ることができ、より観察読影適性に優れた高画質の画像を得ることができる。

【0140】さらに、上述したエネルギーサブトラクションを行う実施例においても、図17に示すようにアナログの画像信号 S_A 、 S_B に対して図18、19に示すフィルタにより周波数処理を施した後に画像信号 S_A 、 S_B をデジタル変換し、このデジタル変換された画像信号 S_1 、 S_2 に対してサブトラクション処理を施すようにしてもよいものである。

【0141】また、双方のアナログ出力信号 S_A 、 S_B に対して処理を施すのみならず、いずれか一方のアナログ画像信号に対して周波数処理を施し、処理後のアナログ出力信号と、未処理のアナログ出力信号をデジタル変換してサブトラクション処理を施すようにしてもよい。

【図面の簡単な説明】

【図1】本発明による画像重ね合せ方法の実施例における蓄積性蛍光体シートへの放射線画像の記録を説明するための図

【図2】蓄積性蛍光体シートからの放射線画像の読取りを行うための装置を表す図

【図3】重ね合せを行う装置の概略を表す図

【図4】ウェーブレット変換の詳細を表す図

【図5】ウェーブレット変換係数信号を表す図

【図6】画像信号のMTFを表す図

【図7】画像信号のウィナースペクトルを表す図

【図8】複数の周波数帯域におけるDQEを表す図

【図9】重み付けテーブルを表す図

10 【図10】逆ウェーブレット変換の詳細を表す図

【図11】サブバンド変換の詳細を表す図

【図12】フーリエ変換を行うためのフィルタを表す図

【図13】ウェーブレット変換あるいはサブバンド変換により得られた係数信号を表す図

【図14】1枚の蓄積性蛍光体シートの放射線画像を蓄積記録する状態を表す図

【図15】蓄積性蛍光体シートの両面から放射線画像を読み取る装置を表す図

20 【図16】蓄積性蛍光体シートの両面から放射線画像を読み取る別の装置を表す図

【図17】アナログ出力信号に対して周波数処理を施す実施例を説明するための図

【図18】出力信号 S_A に周波数処理を施すフィルタを表す図

【図19】出力信号 S_B に周波数処理を施すフィルタを表す図

【図20】本発明によるエネルギーサブトラクション方法の実施例における蓄積性蛍光体シートへの放射線画像の記録を説明するための図

30 【図21】エネルギーサブトラクションを行う装置の概略を表す図

【図22】ウェーブレット変換に用いられる基本ウェーブレット関数を表す図

【図23】ウェーブレット変換を説明するための図

【図24】フーリエ変換を説明するための図

【符号の説明】

1 被写体

2 放射線

3 放射線源

40 4A、4B 蓄積性蛍光体シート

10 レーザ光源

11 レーザ光

12 ミラー

13、13a、13b 輝尽発光光

14、14a、14b 光ガイド

15、15a、15b フォトマルチプライヤ

16、16a、16b 対数変換器

17、17a、17b A/D変換器

18 記憶媒体

50 19、30 ウェーブレット変換手段

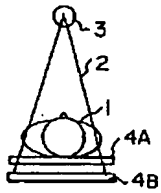
31

32

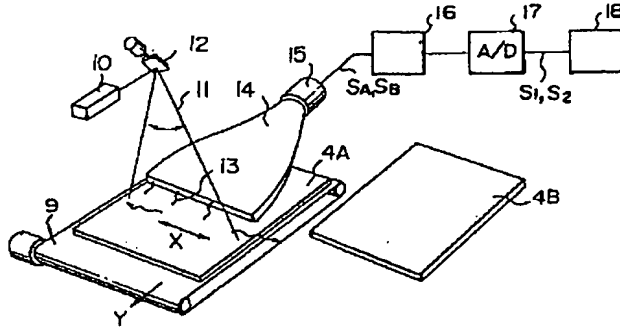
- 20 重み付け重ね合せ手段
 21, 32 逆ウェーブレット変換手段
 22, 33 画像処理手段

- 23, 34 再生手段
 40a, 40b 周波数処理手段
 41a, 41b エリアジング除去フィルタ

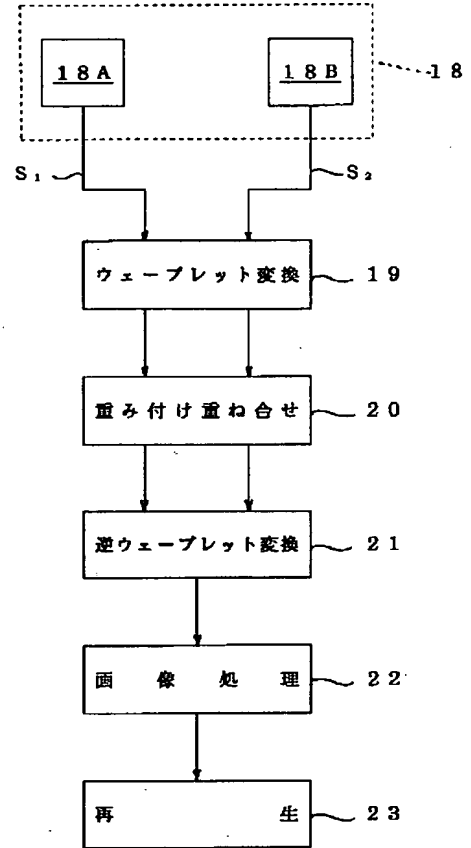
【図1】



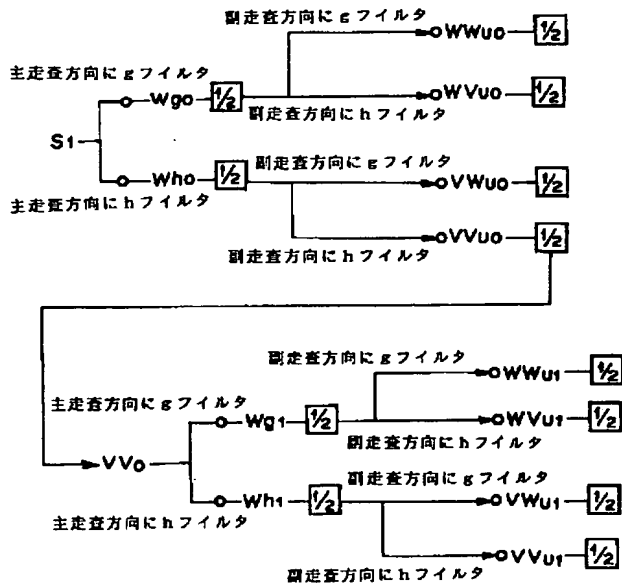
【図2】



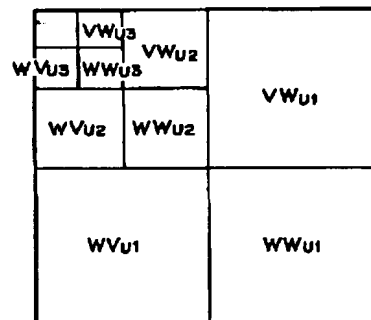
【図3】



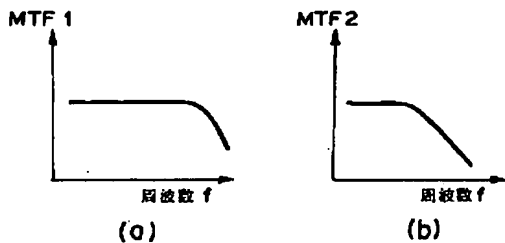
【図4】



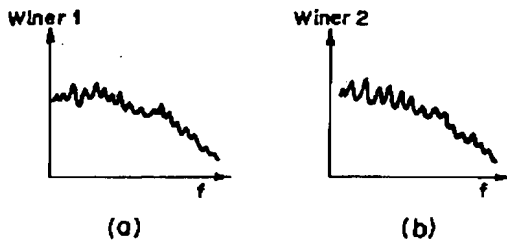
【図5】



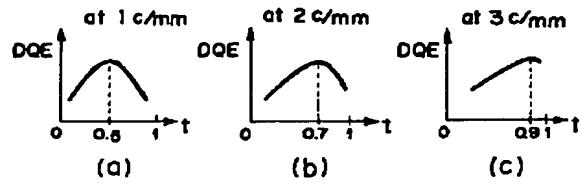
【図6】



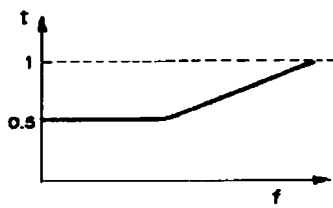
【図7】



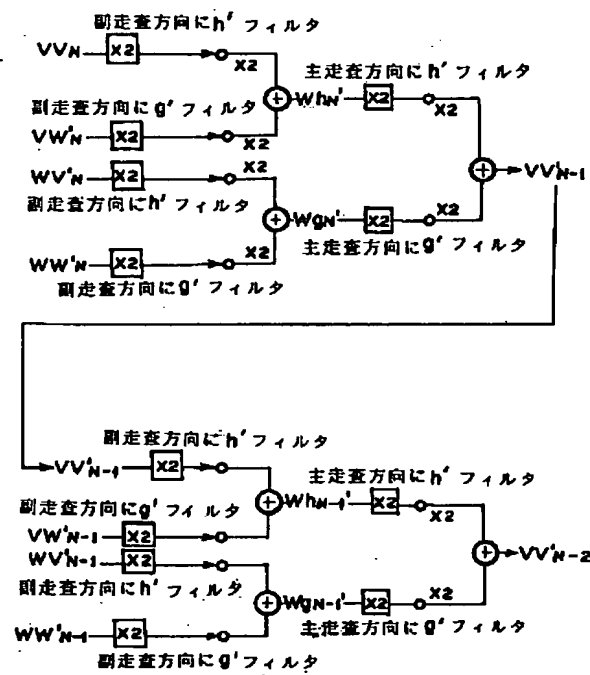
【図8】



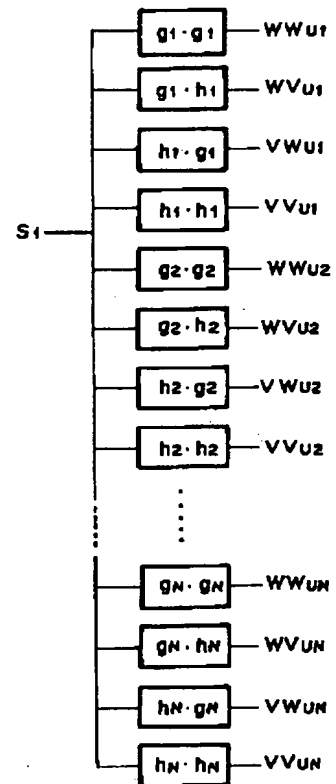
【図9】



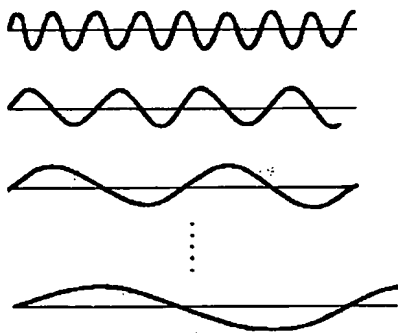
【図10】



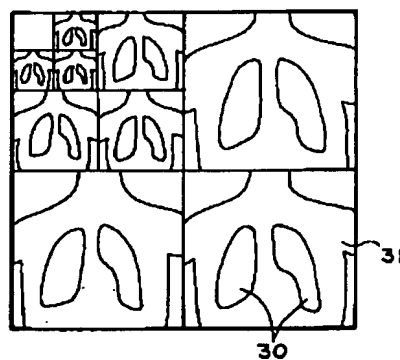
【図11】



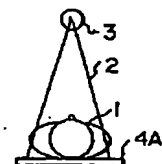
【図12】



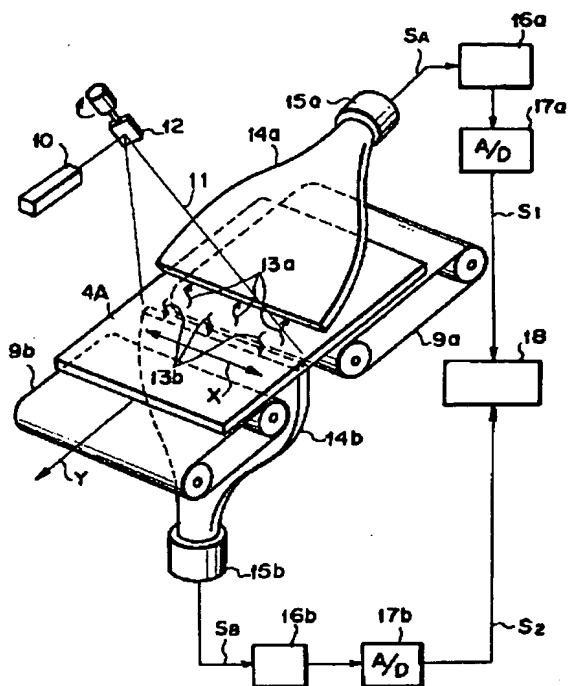
【図13】



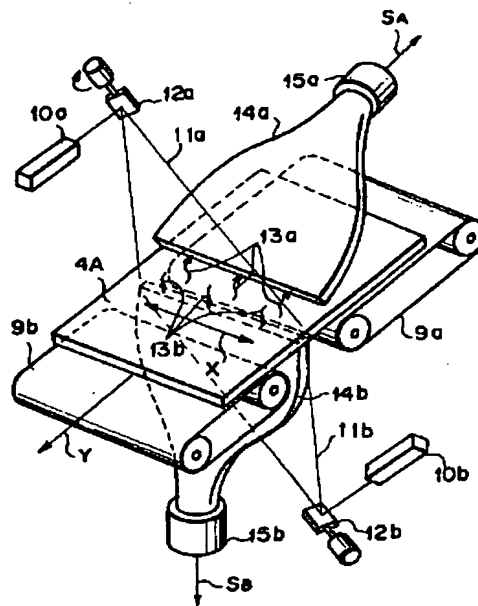
【図14】



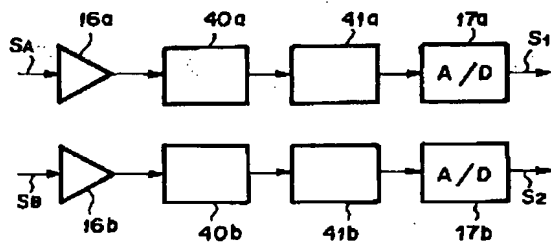
【図15】



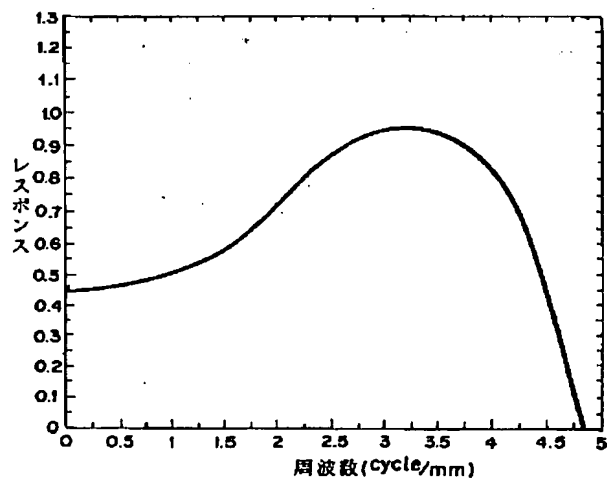
【図16】



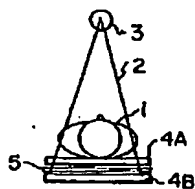
【図17】



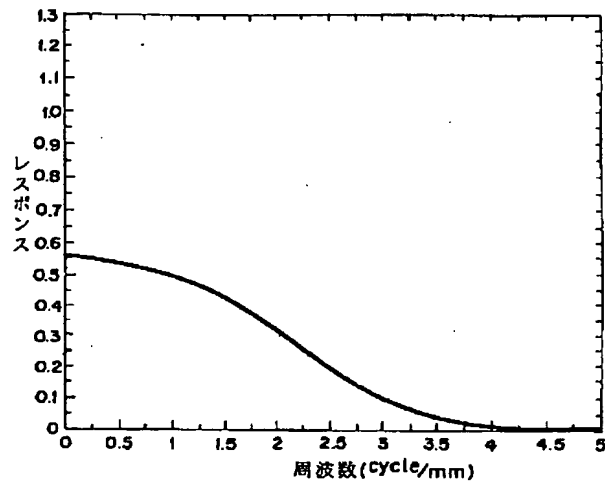
【図18】



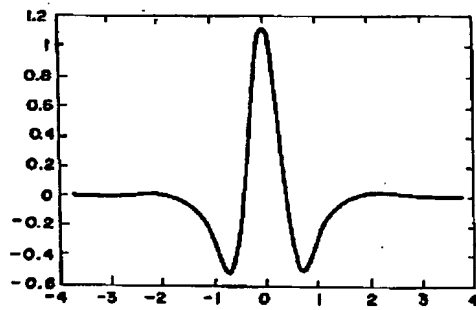
【図20】



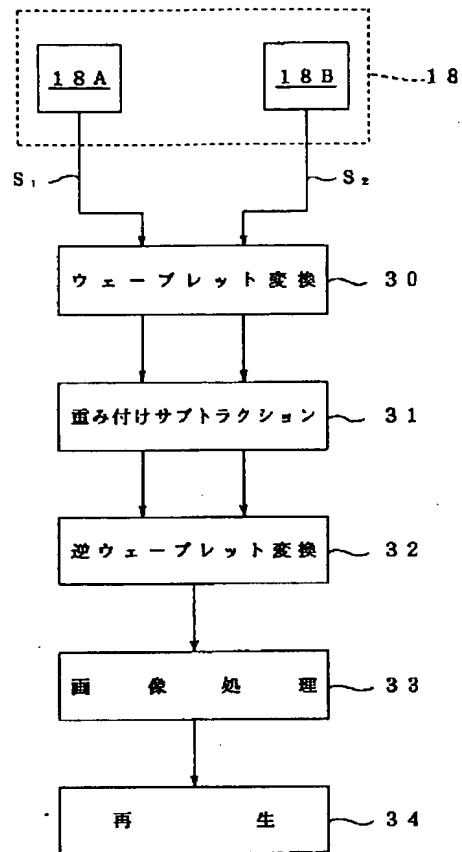
【図19】



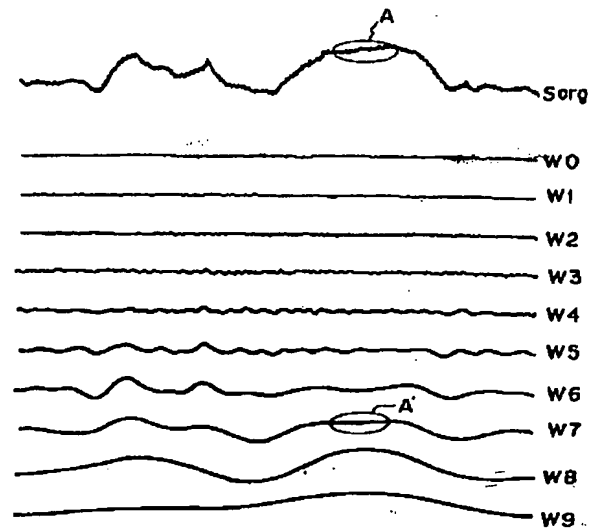
【図22】



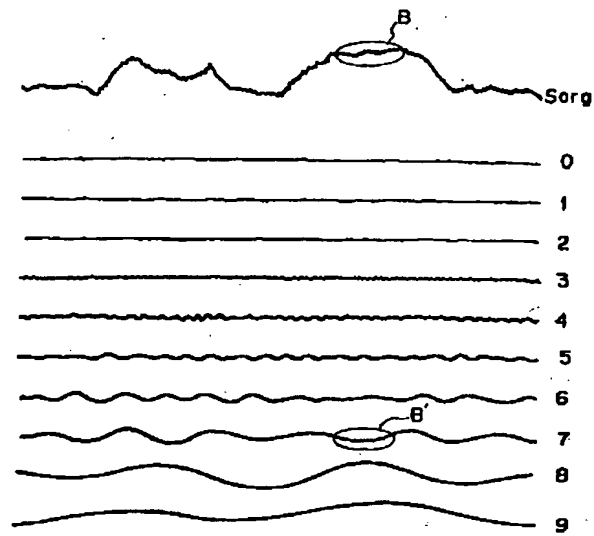
【図21】



【図23】



【図24】



フロントページの続き

(51)Int.Cl.⁶

H04N 5/325

G01N 23/04

G06T 1/00

5/00

識別記号

庁内整理番号

F I

技術表示箇所

G06F 15/68

350